

## ЛИТЕРАТУРА

1. Тирский А. Г., Щербак В. Г. Взаимные влияния колебательно-диссоциационной релаксации при сверхзвуковом обтекании затупленных тел вязким газом // ПМТФ.— 1990.— № 6.
2. Ступченко Е. В., Лосев С. А., Осинов А. И. Релаксационные процессы в ударных волнах.— М.: Наука, 1965.
3. Щербак В. Г. Расчет неравновесного обтекания затупленных тел в рамках упрощенных моделей // Моделирование в механике.— Новосибирск, 1988.— Т. 2, № 4.
4. Treanor C. E., Marrone P. V. Effects of dissociation of the rate of vibrational relaxation // Phys. Fluids.— 1962.— V. 5, N. 9.
5. Park C. Problems of rate chemistry in the flight regimes of aeroassisted orbital transfer vehicles.— N. Y., 1984.— (Pap./AIAA; N 1730).
6. Kang S. W., Dunn M. J. Hypersonic viscous shock layer with chemical nonequilibrium for spherically blunted cones // AIAA J.— 1972.— V. 10, N. 10.
7. Щербак В. Г. О граничных условиях на ударной волне при сверхзвуковом обтекании // ПМТФ.— 1989.— № 1.
8. Marrone P. V., Treanor C. E. Chemical relaxation with preferential dissociation from excited vibrational levels // Phys. Fluids.— 1963.— V. 6, N. 10.
9. Куксенко Б. В., Лосев С. А. Возбуждение колебаний и распад двухатомных молекул при атом-молекулярных столкновениях в газе высокой температуры // ДАН СССР.— 1969.— Т. 185, № 1.
10. Лосев С. А., Генералов И. А. К исследованию явлений возбуждения колебаний и распада молекул кислорода при высоких температурах // ДАН СССР.— 1961.— Т. 141, № 5.
11. Wray K. L., Feldman E. V., Lewis P. F. Shock tube study of the effect of vibrational energy of  $N_2$  on the kinetics of the  $O + N_2 \rightarrow NO + N$  reaction // J. Chem. Phys.— 1970.— V. 53, N. 11.
12. Park C. Assessment of two-temperature kinetic model for dissociating and weakly-ionizing nitrogen.— N. Y., 1986.— (Pap./AIAA; N 1347).
13. Шкадов Л. М., Буханова Р. С., Илларионов В. Ф., Плохих В. П. Механика оптимального пространственного движения летательных аппаратов в атмосфере.— М.: Машиностроение, 1972.
14. Camac M., Vaughan A.  $O_2$  dissociation rates in  $O_2 + Ar$  mixtures // J. Chem. Phys.— 1961.— V. 34, N. 2.

г. Москва

Поступила 26/III 1990 г.,  
в окончательном варианте — 4/IV 1991 г.

УДК 533.6.0111.14

А. Б. Британ, В. А. Левин, А. М. Старик,  
А. Н. Хмелевский

## ИССЛЕДОВАНИЕ ФОРМИРОВАНИЯ НЕРАВНОВЕСНОГО РАСПРЕДЕЛЕНИЯ ЭНЕРГИИ ПО КОЛЕБАТЕЛЬНЫМ СТЕПЕНИЯМ СВОБОДЫ МОЛЕКУЛЫ $H_2O$ ПРИ РАСШИРЕНИИ ВОДЯНОГО ПАРА В СВЕРХЗВУКОВОМ СОПЛЕ

Необходимость изучения кинетики неупругих столкновений и построения моделей колебательного энергообмена в смесях, содержащих пары воды, обусловлена не только интересом к возможности получения излучения дальнего инфракрасного (ИК) и субмиллиметрового диапазона при использовании в качестве активной среды смеси ( $H_2O - H_2 - He$ ) [1—7] и моделирования характеристик этих лазеров, но и анализом неравновесных процессов в химически реагирующих газах ( $H_2 + O_2$ ) с возбужденными колебательными степенями свободы и при прохождении мощного ИК-излучения через атмосферу [8, 9]. Кроме того, пары воды всегда содержатся в продуктах горения углеводородов в воздухе, которые используются в  $CO_2$ -ГДЛ [10].

Изучению кинетики колебательного энергообмена в смесях на основе паров воды посвящено небольшое число экспериментальных работ. Так, в [3, 4, 11, 12] рассматривались возбуждение и последующая релаксация колебательных состояний  $H_2O$  в электрическом разряде, в [13] — неравновесное возбуждение за ударной волной, а в [14] — при воздействии

резонансного излучения. На основе результатов этих работ в [15–17] предложена модель колебательного энергообмена в смесях ( $\text{H}_2\text{O}$ — $\text{H}_2$ — $\text{O}_2$ ) и ( $\text{H}_2\text{O}$ — $\text{H}_2$ — $\text{He}$ ). Проведенные с ее использованием расчеты показали возможность формирования неравновесного распределения энергии по колебательным степеням свободы молекулы  $\text{H}_2\text{O}$  и даже получения инверсной заселенности между уровнями асимметричной (симметричной) и деформационной мод  $\text{H}_2\text{O}$  (переходы  $001(100) \rightarrow 020$ ) при расширении водяного пара или смеси ( $\text{H}_2\text{O}$ — $\text{H}_2$ — $\text{He}$ ) в сверхзвуковом сопле. Однако экспериментальный анализ этой возможности до настоящего времени не проводился.

Цель данной работы — комплексное расчетно-экспериментальное исследование процессов формирования неравновесного распределения энергии по колебательным степеням свободы молекул  $\text{H}_2\text{O}$  при расширении водяного пара в сверхзвуковом сопле и уточнение разработанной ранее модели колебательного энергообмена.

**1. Модель колебательного энергообмена в парах воды.** Проведенный ранее [15–18] анализ показал, что для описания процессов колебательного энергообмена при расширении водяного пара в сопле или при его нагреве в ударной волне при отсутствии конденсации и образования комплексных соединений и димеров, так же как и для других многоатомных молекул ( $\text{CO}_2$ ,  $\text{N}_2\text{O}$ ,  $\text{CS}_2$  и др.), допустимо применять модель локальных колебательных температур. При этом наиболее вероятными являются следующие каналы энергообмена:

- 1)  $\text{H}_2\text{O}(001) + M \rightleftharpoons \text{H}_2\text{O}(100) + M$  ( $W_{3,1}^M$ ),
- 2)  $\text{H}_2\text{O}(001) + M \rightleftharpoons \text{H}_2\text{O}(020) + M$  ( $W_{3,2}^M$ ),
- 3)  $\text{H}_2\text{O}(100) + M \rightleftharpoons \text{H}_2\text{O}(020) + M$  ( $W_{1,2}^M$ ),
- 4)  $\text{H}_2\text{O}(010) + M \rightleftharpoons \text{H}_2\text{O}(000) + M$  ( $W_{2,0}^M$ ).

Здесь  $W_{p,k}^M$  — константы скорости внутримолекулярного обмена энергией между состояниями  $p$  и  $k$  при столкновении с частицами  $M$  ( $M = \text{H}_2\text{O}$  или другие бесструктурные частицы, например  $\text{He}$ ,  $\text{Ar}$ );  $p, k = 1, 2, 3$  соответствуют симметричному, деформационному, асимметричному типам колебаний молекулы  $\text{H}_2\text{O}$ , а  $k = 0$  — ее невозбужденному состоянию. Систему уравнений, описывающую энергообмен по выделенным каналам в рамках принятых предположений, можно представить в виде

$$(1.1) \quad \frac{d\epsilon_1}{dt} = \frac{P}{KT} [L_{3,1}W_{3,1} - L_{1,2}W_{1,2}];$$

$$(1.2) \quad \frac{d\epsilon_2}{dt} = \frac{P}{KT} [2L_{1,2}W_{1,2} + 2L_{3,2}W_{3,2} - L_{2,0}W_{2,0}];$$

$$(1.3) \quad \frac{d\epsilon_3}{dt} = \frac{P}{KT} [-L_{3,1}W_{3,1} - L_{3,2}W_{3,2}],$$

$$L_{p,k} = \frac{y_p^{r_p} - y_k^{r_k} \exp [(r_k \theta_k - r_p \theta_p)/T]}{\prod_{i=p,k} (1 - y_i)^{r_i}},$$

$$y_p = \exp (-\theta_p/T_p), \quad y_{p0} = \exp (-\theta_p/T),$$

$$\epsilon_p = \frac{y_p}{1 - y_p}, \quad L_{p,0} = \frac{y_p - y_{p0}}{1 - y_p}, \quad W_{p,k} = \sum_i W_{p,k}^i j_i.$$

Здесь  $P$ ,  $T$  — давление и температура газа;  $K$  — постоянная Больцмана;  $\theta_p$  и  $T_p$  — характеристическая и локальная колебательные температуры моды  $p$  ( $\theta_1 = 5264$  К,  $\theta_2 = 2796,48$  К,  $\theta_3 = 5408,6$  К);  $r_{k(p)}$  — количество колебательных квантов, приобретаемых или теряемых модой  $k(p)$  в процессах  $VV'$ - или  $VT$ -обмена;  $j_i$  — молярная доля  $i$ -го компонента в смеси  $i = (\text{H}_2\text{O}, \text{He}, \text{H}_2)$ .

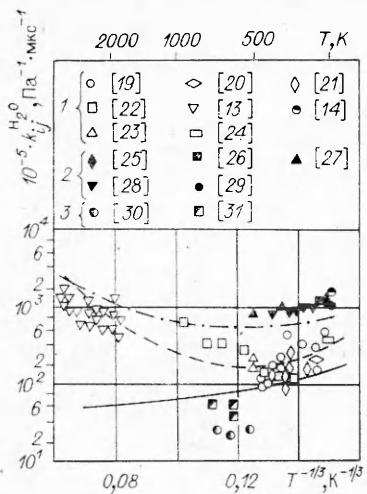


Рис. 1

Остановимся подробнее на вопросе о выборе температурных зависимостей  $W_{p,h}(T)$ , поскольку правильное определение  $W_{p,h}$  в значительной степени влияет на соответствие модели реальности. Отметим, что как теоретических, так и экспериментальных данных по исследованию кинетики колебательного энергобмена в парах воды недостаточно. Поэтому ранее в [15–18] при расчетах течения водяного пара для  $W_{1,2}$ ,  $W_{3,1}$  использовались оценочные значения. В настоящее время накоплен значительный материал лишь о величине  $W_{2,0}^{H_2O}$  [13, 14, 19–31]. Измерения, проведенные в диапазоне  $T = 255–2500$  К, указывают на аномально высокую по сравнению с другими трехатомными молекулами  $\text{CO}_2$ ,  $\text{N}_2\text{O}$ ,  $\text{CS}_2$  скорость  $VT$ -релаксации. Согласно [32], все экспериментальные результаты

могно разделить на три группы. В первой данные о  $W_{2,0}^{H_2O}$  получены при низких парциальных давлениях паров воды либо в смеси с Ar и N<sub>2</sub> [13, 14, 19–24], во второй все результаты [25–29] для смесей, содержащих O<sub>2</sub>, а в третьей собраны результаты [30, 31], найденные при высоких давлениях водяного пара ( $1 \div 2,71 \cdot 10^5$  Па (рис. 1, точки 1–3 соответственно). Было предложено [32] интерпретировать данные первой группы как процесс собственной  $VT$ -релаксации состояния H<sub>2</sub>O(010). В то же время при интерпретации результатов второй группы необходимо учитывать возможность образования возбужденных комплексов (H<sub>2</sub>O)<sub>2</sub>\* с их последующим спонтанным распадом, ускоряющих  $VT$ -релаксацию, а для третьей группы — образование и распад димеров (H<sub>2</sub>O)<sub>2</sub>, замедляющих дезактивацию состояния H<sub>2</sub>O(010). В настоящей работе рассматриваются условия (чистые пары воды и  $P < 0,1$  МПа), при которых образования комплексов (H<sub>2</sub>O)<sub>2</sub>\* и димеров не происходит. Поэтому данные второй и третьей группы при определении зависимости  $W_{20}^{H_2O}(T)$  во внимание не принимались. Как следует из [33, 34], в молекулах, содержащих атомы H и D и имеющих большой врачательный квант (H<sub>2</sub>O, D<sub>2</sub>O, NH<sub>3</sub> и др.), на процесс  $VT$ -релаксации существенное влияние может оказывать колебательно-вращательный VR-обмен, что приводит в области низких температур к существенному отличию  $W_{20}(T)$  от зависимости Ландау — Тейлора. Поэтому при построении аппроксимационной зависимости  $W_{20}(T)$  по экспериментам [13, 19–24] учитывалось, что при  $T < T_*$  (для деформационных колебаний H<sub>2</sub>O  $T_* = 513$  К), где  $T_*$  — характерная температура [34], заметный вклад в дезактивацию H<sub>2</sub>O(010) дает резонансный VR-обмен, а при  $T > T_*$  экспериментальные данные описываются зависимостью Ландау — Тейлора. При этом аппроксимационную формулу для  $W_{20}^{H_2O}(T)$  можно представить в виде

$$(1.4) \quad W_{20}^{H_2O}(T) = KT 10^{8.273 - 99.1T^{-1/3} + 408.127T^{-2/3}}, \text{ см}^3/\text{s}.$$

Отметим, что используемая в [17] аппроксимационная зависимость  $W_{20}^{H_2O}(T)$  получена с учетом данных второй группы и при  $T \leq 700$  К дает завышенные по сравнению с (1.4) значения (при  $T = 300$  К они отличаются в 4 раза).

Экспериментальных данных о  $W_{1,2}^{H_2O}$ ,  $W_{3,2}^{H_2O}$  и  $W_{1,3}^{H_2O}$  в литературе существенно меньше. Косвенное определение  $W_{1,2}^{H_2O}$  и  $W_{3,2}^{H_2O}$ , проведенное по изменению коэффициента усиления и мощности генерации импульсно-

го электроразрядного  $\text{H}_2\text{O}$ -лазера во времени, дало  $W_{1,2}^{\text{H}_2\text{O}} = 4,53 \times 10^{-11} \text{ см}^3/\text{с}$  и  $W_{3,2}^{\text{H}_2\text{O}} = 2,2 \cdot 10^{-11} \text{ см}^3/\text{с}$  [12]. Однако при этом неясно, к какой температуре следует отнести эти результаты (предположительно [14] в этом эксперименте  $T = 600 \text{ K}$ ). Кроме того, анализ показывает, что указанные значения  $W_{1,2}^{\text{H}_2\text{O}}$  и  $W_{3,2}^{\text{H}_2\text{O}}$  при обработке результатов эксперимента могли быть существенно завышены, поскольку авторы [12] применяли упрощенную двухуровневую модель. Прямые измерения  $W_{1,2}^{\text{H}_2\text{O}}$  методом лазерной флуоресценции для молекулы  $\text{H}_2^{18}\text{O}$  проведены в [13] при  $T = 298 \text{ K}$ . При обработке данных эксперимента считалось, что между состояниями  $\text{H}_2\text{O}(001)$  и  $\text{H}_2\text{O}(100)$  существует квазиравновесие, и рассматривалась совместная релаксация энергии мод  $v_1$  и  $v_3$   $\text{H}_2\text{O}$  по каналу  $\text{H}_2\text{O}(001, 100) + M \rightarrow \text{H}_2\text{O}(020) + M$ . Было получено, что величина  $W_{1,2}^{\text{H}_2\text{O}}$  меньше  $W_{2,0}^{\text{H}_2\text{O}}$ , также определенной в этой работе ( $W_{1,2}^{\text{H}_2\text{O}} = 2,2 \times 10^{-11} \text{ см}^3/\text{с}$ , а  $W_{2,0}^{\text{H}_2\text{O}} = (5,5 - 9,1) \cdot 10^{-11} \text{ см}^3/\text{с}$ ). С учетом точности определения  $W_{2,0}^{\text{H}_2\text{O}}$  имеем  $W_{1,2}^{\text{H}_2\text{O}} = 0,293 W_{2,0}^{\text{H}_2\text{O}}$ . Значение  $W_{2,0}^{\text{H}_2\text{O}}$ , измеренное в [14], превышает константу скорости  $VT$ -релаксации состояния  $\text{H}_2\text{O}(010)$ , полученную другими авторами и даваемую аппроксимационной формулой (1.4), более чем в 4 раза. Будем в предлагаемой модели полагать, что при  $T = 300 \text{ K}$  соотношение между  $W_{1,2}^{\text{H}_2\text{O}}$  и  $W_{2,0}^{\text{H}_2\text{O}}$  из [14] сохраняется, но  $W_{2,0}^{\text{H}_2\text{O}}$  определяется из (1.4) и соответствует данным [13, 20, 24] (т. е. в нашей модели при  $T = 300 \text{ K}$   $W_{1,2}^{\text{H}_2\text{O}} = 4,9 \cdot 10^{-12} \text{ см}^3/\text{с}$ ). Температурная зависимость  $W_{1,2}^{\text{H}_2\text{O}}(T)$  рассчитывалась по теории [34]. При этом аппроксимационная формула для  $W_{1,2}^{\text{H}_2\text{O}}(T)$  имеет вид

$$(1.5) \quad W_{1,2}^{\text{H}_2\text{O}} = 10^{-9,339 - 25,61T^{-1/3} + 82,943T^{-2/3}} \text{ см}^3/\text{с}.$$

Температурная зависимость  $k_{1,2}^{\text{H}_2\text{O}}(T)$ , соответствующая (1.5), показана на рис. 1 сплошной, а  $k_{2,0}^{\text{H}_2\text{O}}(T)$ , отвечающая (1.4), — штриховой линией ( $k_{ij} = W_{ij}/kT$ ). Отметим, что в [17] предлагалось в температурном диапазоне  $T = 300 - 2500 \text{ K}$  считать  $W_{1,2}^{\text{H}_2\text{O}} = 0,1935 W_{2,0}^{\text{H}_2\text{O}}$ . Для  $W_{3,2}^{\text{H}_2\text{O}}(T)$  во всем диапазоне изменения  $T$  ( $T = 300 - 2500 \text{ K}$ ), как и в [17], полагалось  $W_{3,2}^{\text{H}_2\text{O}}(T) = 0,486 W_{1,2}^{\text{H}_2\text{O}}(T)$ . Экспериментальных данных о  $W_{3,1}^{\text{H}_2\text{O}}$  в литературе обнаружить не удалось. В [14] при анализе результатов эксперимента полагалось, что  $VV'$ -обмен по каналу 1 происходит существенно быстрее всех остальных  $VV'$ - и  $VT$ -процессов. В данной работе  $W_{3,1}^{\text{H}_2\text{O}}$  при  $T = 300 - 2500 \text{ K}$  определялась следующим образом. Расчеты, проведенные по теории [34, 35], показали, что при  $T = 300 \text{ K}$  [ $W_{3,1}^{\text{H}_2\text{O}} = 7,53 W_{1,2}^{\text{H}_2\text{O}}$ ]. Используя значение  $W_{1,2}^{\text{H}_2\text{O}}(T = 300 \text{ K})$ , найденное по (1.5), получаем  $W_{3,1}^{\text{H}_2\text{O}}(T = 300 \text{ K}) = 2,18 \cdot 10^{-11} \text{ см}^3/\text{с}$ . Эта точка принималась в качестве реперной, а температурная зависимость определялась по теории [34]. При этом аппроксимационная формула для  $W_{3,1}^{\text{H}_2\text{O}}(T)$  имеет вид

$$(1.6) \quad W_{3,1}^{\text{H}_2\text{O}}(T) = 10^{-6,246 - 55,25T^{-1/3} + 172,069T^{-2/3}} \text{ см}^3/\text{с}.$$

Эта зависимость для  $k_{3,1}^{\text{H}_2\text{O}}$  показана на рис. 1 штрихпунктирной линией.

**2. Анализ результатов.** Одним из способов исследования неравновесного распределения энергии по внутренним степеням свободы молекул в газовых потоках и проверки теоретических моделей является сравнение расчетного значения коэффициента поглощения с экспериментально измеренным. При этом зондирование потока желательно осуществлять излучением, частота которого резонансна частоте центра линии колебательно-вращательного перехода, верхнее и нижнее состояния которого принадле-

жат к модам с существенно различающимися временами релаксации. Для молекулы  $\text{H}_2\text{O}$  этому условию отвечает переход  $020(5_{50}) \rightarrow 001(6_{33})$ . Величина коэффициента поглощения для  $i$ -й линии колебательно-вращательного перехода молекулы  $\text{H}_2\text{O}$   $m(v'_1, v'_2, v'_3, j', k'_a, k'_c) \rightarrow n(v''_1, v''_2, v''_3, j'', k''_a, k''_c)$ , где  $v_i$  ( $i = 1, 2, 3$ ) — колебательные,  $j, k_a, k_c$  — вращательные квантовые числа, при принятом допущении о наличии локального больцмановского распределения внутри каждой моды определяется соотношением

$$k_v = \frac{\lambda_{mn}^3}{8\pi} \left( \frac{\mu_{\text{H}_2\text{O}}}{2\pi R T} \right)^{1/2} A_{mn} \left( \frac{g_n}{g_m} N_m - N_n \right) H_\Phi(\tilde{x}, a),$$

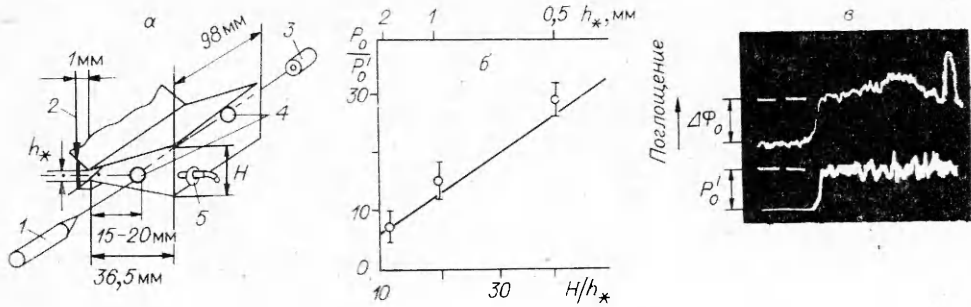
$$N_m = \frac{P}{KT} \gamma_{\text{H}_2\text{O}} \frac{g_m}{Z_v Z_r^m} \exp \left( -\frac{E_v^m}{kT_m} - \frac{E_r^m}{KT} \right),$$

$$N_n = \frac{P}{KT} \gamma_{\text{H}_2\text{O}} \frac{g_n}{Z_v Z_r^n} \exp \left( -\frac{E_v^n}{kT_n} - \frac{E_r^n}{KT} \right),$$

$$Z_r^v = 2 \left( \frac{\pi T^3}{A_v B_v C_v} \right)^{1/2}, \quad Z_v = \prod_{i=1}^3 [1 - \exp(-\theta_i/T_i)]^{-1}.$$

Здесь  $\lambda_{mn}$  — длина волны в центре линии поглощающего перехода;  $\mu_{\text{H}_2\text{O}}$  — молекулярная масса водяного пара;  $R$  — универсальная газовая постоянная;  $E_v^q$  и  $E_r^q$  — колебательная и вращательная энергии молекулы в состоянии  $q$  ( $q = m, n$ );  $A_v, B_v, C_v$  — вращательные постоянные в состоянии  $v = v_1 v_2 v_3$ ;  $A_{mn}$  — коэффициент Эйнштейна;  $H_\Phi(\tilde{x}, a)$  ( $a = \sqrt{\ln 2} b_D / b_D$ ,  $\tilde{x} = 2\Delta\nu \sqrt{\ln 2} b_D$ ,  $\Delta\nu$  — расстройка) — функция Фойхта;  $g_q$  — кратность вырождения состояния  $q$  ( $g_q = g_v^q g_j^q g_l^q$ ), где  $g_v^q, g_j^q$  и  $g_l^q$  — кратности вырождения по колебаниям, вращению и ядерному спину; для молекулы  $\text{H}_2\text{O}$   $g_v = 1$ ,  $g_j = 2j + 1$ , а  $g_l = 3$  для антисимметричных и  $g_l = 1$  для симметричных уровней.

При расчете коэффициента поглощения на частоте зондирующего лазера ( $\nu_1 = 356,15 \text{ см}^{-1}$ ) учитывалась возможность перекрытия соседних по частоте к центру основного перехода  $020(5_{50}) \rightarrow 001(6_{33})$  спектральных линий чисто вращательных переходов в диапазоне  $\Delta\nu = 356,5 - 358,5 \text{ см}^{-1}$ . При этом использовалась модель, рассмотренная в [36]. Величина  $A_{mn}$  и коэффициент ударного уширения для основного перехода  $020(5_{50}) \rightarrow 001(6_{33})$  в соответствии с [36] принимались равными  $2 \text{ см}^{-1}$  и  $4,5 \cdot 10^{-6} \text{ см}^{-1} \cdot \text{Па}^{-1}$ . Для него  $g_l = 3$ ,  $T_m = T_2$ ,  $T_n = T_3$ , для чисто вращательных переходов в состоянии  $(0v_20)$   $T_n = T_m = T_2$ . Температурная зависимость коэффициентов ударного уширения  $\sim T^{-0,62}$ . В экспериментах для создания сверхзвукового потока использовалось клиновидное сопло с углом раскрытия  $\alpha = 30^\circ$  и различным размером критического сечения  $\dot{n}_* = 2; 1; 0,5 \text{ мм}$ . Давление и температура на входе в сопло изменялись в пределах  $P_0 = 0,195 - 0,553 \text{ МПа}$ ,  $T_0 = 1760 - 2580 \text{ К}$ . Сопло пристыковывалось к торцу ударной трубы, описание которой приводится в [36]. Ширина сопла составляла 98 мм. Измерение коэффициента поглощения в сверхзвуковом потоке проводилось, как и в случае измерений за падающей волной [36], по однопроходной схеме (рис. 2, a). Тонкий полиэтилен использовался в качестве боковых окон 4 сверхзвукового канала. Зондирование потока осуществлялось излучением непрерывного электроразрядного  $\text{H}_2\text{O}$ -лазера 1 с  $\lambda = 27,971 \text{ мкм}$ , резонансным переходом  $020(5_{50}) \rightarrow 001(6_{33})$  молекулы  $\text{H}_2\text{O}$ . В качестве приемника 3 применялся кристаллический полупроводниковый детектор из Si : B, охлаждаемый жидким гелием. Во входной части сопла устанавливалась тонкая алюминиевая мембрана 2, разделяющая канал ударной трубы и откачиваемую демпферную емкость с соплом. Откачка обеспечивала достаточно быстрый запуск сопла и выход истечения на квазистационарный режим за  $\simeq 20 \text{ мкс}$ . Это время контролировалось по величине



Р и с. 2

чине задержки показаний датчика 5 давления  $P'_0$ , установленного в сверхзвуковом потоке, относительно момента появления сигнала давления  $P_0$  на торце трубы. При наличии противодавления в демпферной емкости и небольших  $P_0$  при малых  $h_*$  может происходить отрыв сверхзвукового потока от стенок сопла. Для исключения отрыва емкость перед экспериментом откачивалась до давлений, не превышающих 13,3 Па. При этом сопло работало во всех исследованных режимах с недорасширением. Режим квазистационарного истечения контролировался по показаниям датчика давления. Давление  $P_0$  за отсоединенными скачком связано известным соотношением [37] с давлением на входе в сопло  $P_0$ . Результаты измерений  $P_0/P'_0$  в соплах с  $h_* = 2; 1$  и  $0,5$  мм представлены на рис. 2, б. Точность измерений  $\geq 30\%$ . В пределах погрешности измерения значение  $P_0/P'_0$  согласуются с расчетной зависимостью для совершенного газа с показателем адиабаты  $\gamma = 1,33$  (сплошная линия на рис. 2, б). Величина  $P'_0$  служит надежным индикатором процесса раскрытия мембранны, поскольку момент ее разрушения, а также начало сигнала поглощения зондирующего излучения (сигнал  $\Delta\Phi$  на рис. 2, в) совпадают с моментом появления сигнала  $P'_0$  на датчике.

Характерная осциллограмма изменения  $\Delta\Phi$  и  $P'_0$  представлена на рис. 2, в для измерений в сопле с  $h_* = 2$  мм при  $P_0 = 0,293$  МПа,  $T_0 = 2020$  К. Давление  $P'_0$  определяется степенью раскрытия мембранны, а когда она раскрывалась не полностью, значительное уменьшение  $P'_0$  приводило к возрастанию (более чем в 2 раза) отношения  $P_0/P'_0$  по сравнению с расчетом. Оценки показывают, что течение в сопле близко к одномерному, а влиянием пограничного слоя на изменение параметров газа можно пренебречь и полагать наличие равновесия между поступательными и вращательными степенями свободы. Поэтому для расчета параметров при расширении паров воды в клиновидном сопле использовалось приближение одномерного стационарного течения невязкого нетеплопроводного газа. Методика совместного интегрирования уравнений газовой динамики и колебательной кинетики рассмотрена в [15]. Она использовалась и в данной работе.

Проведенные расчеты в сопле с  $h_* = 2$  мм показали, что течение во всем диапазоне рассматриваемых параметров близко к равновесному. При этом значения  $P$  и  $T$  в измерительном сечении, расположенному на расстоянии 15 мм от критического сечения, совпадают с параметрами за ударной волной при  $P = 6,5-8,5$  кПа и  $T = 950-1050$  К (при этих  $P$  и  $T$  вклад соседних по частоте спектральных линий в величину поглощения на частоте  $v_1 = 357,516 \text{ см}^{-1}$  не превышает 5 %), при которых проводились измерения  $k_v$  в [36]. Таким образом, исследование потока в сопле с  $h_* = 2$  мм позволяет сравнить характеристики течения, полученного двумя различными способами: при нагреве (за падающей волной) и при охлаждении водяного пара (в сопле). В экспериментах с соплом  $h_* = 2$  мм в измерительном сечении вблизи стенок сопла, где температу-

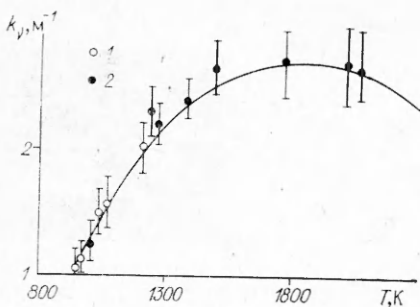


Рис. 3

конденсации как при измерении в сопле с  $h_* = 2$  мм, так и за падающей волной является непрерывное нарастание сигнала  $\Delta\Phi$  (рис. 2, в), связанное с поглощением излучения пленкой конденсата либо с изменением условий во входной части сопла. Для определения коэффициента поглощения водяного пара в потоке при обработке осциллограмм использовались значения сигнала вблизи фронта (в этом случае влияние отмеченного эффекта на результаты измерений поглощения минимально). В экспериментах с соплами, имеющими  $h_* = 1$  и 0,5 мм, водяной пар в измерительном сечении не был пересыщен и уровень сигнала поглощения оставался неизменным. Результаты измерений давления  $P'_0$  в ядре потока (рис. 2, б) в пределах погрешности измерений согласуются с расчетной зависимостью для совершенного газа с  $\gamma = 1,33$ . Это означает, что во всех рассмотренных условиях в соплах устанавливается безотрывное течение водяного пара, а его конденсация и другие эффекты на стенках не изменяют существенно условий истечения.

На рис. 3 показаны расчетная зависимость  $k_v(T)$ , полученная для условий измерений в сопле с  $h_* = 2$  мм и за ударной волной при  $P = (6,5-8,5)$  кПа, а также экспериментальные значения  $k_v$ , которые отвечают измерениям в сопле и за ударной волной (точки 1 и 2). Видно, что используемая модель поглощения в потоке водяного пара правильно описывает экспериментальные результаты при наличии равновесия между поступательными, врацательными и колебательными степенями свободы молекулы  $H_2O$ . Кроме того, соответствие экспериментальных результатов, полученных в сверхзвуковом расширяющемся потоке водяного пара и за ударной волной, имеет важное методическое значение, так как свидетельствует о правильности модельных представлений об особенностях формирования течения водяного пара в ударной трубе с соплом.

Расчеты течения водяного пара, проведенные с использованием рассмотренной модели колебательного энергообмена, показали, что с уменьшением  $h_*$  и увеличением  $T_0$  происходит нарушение термодинамического равновесия между колебательными и поступательными степенями свободы вследствие того, что характерное время пребывания исследуемого газа в сопле становится меньше наибольшего из времен  $VT$ - и  $VV'$ -обмена. При этом прежде всего нарушается равновесие между деформационными и асимметричными (симметричными) колебаниями молекул  $H_2O$  (заметим, что между симметричными и асимметричными колебаниями  $H_2O$  при рассматриваемых параметрах существует квазиравновесие и определяющим каналом релаксации энергии этих колебаний является  $VV'$ -обмен  $H_2O(100) \rightarrow H_2O(020)$ ). Это иллюстрирует рис. 4, а, б, где представлены распределения колебательной температуры  $T_3$  и разности  $\Delta T_{32} = T_3 - T_2$  для  $h_* = 1$  мм ( $T_0 = 2270$  К и  $P_0 = 0,287$  МПа) и  $h_* = 0,5$  мм ( $T = 2580$  К,  $P = 0,357$  МПа) соответственно (значения  $P$  и  $T$  отвечают условиям эксперимента). Это подтверждают и результаты измерений  $k_v$  в соплах с  $h_* = 1$  и 0,5 мм при указанных  $P$  и  $T$ . На рис. 5, а — в приведены зависимости  $k_v(x)$ , отвечающие равновесному течению 1 и рассчитанные с применением рассмотренной модели колебательного энергообмена 2, а также результаты измерений в сопле с  $h_* = 2; 1; 0,5$  мм ( $P =$

ра газа близка к температуре холодных стенок, а давление насыщения пара при этой температуре относительно малое, возникают условия, при которых водяной пар оказывается пересыщенным. В результате он конденсируется на внутренней поверхности сверхзвуковой части сопла. Аналогичное явление наблюдалось и в экспериментах за падающей ударной волной [38].

Характерной особенностью осциллограммы поглощения при наличии

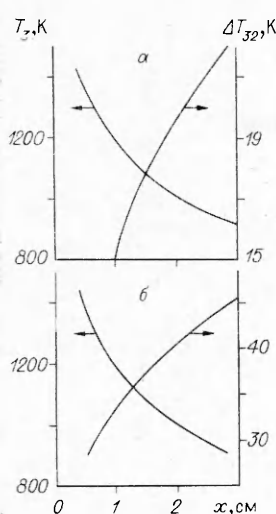


Рис. 4

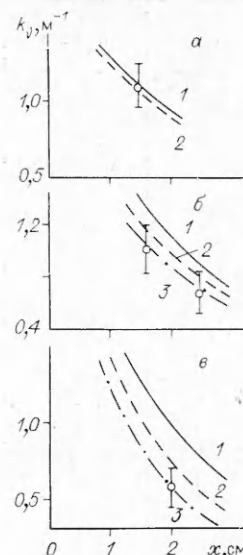


Рис. 5

$= 0,202; 0,267; 0,357$  МПа и  $T = 2320; 2270; 2580$  К) соответственно ( $x$  — расстояние от критического сечения). Видно, что теоретические значения  $k_v$  лежат несколько выше экспериментальных, но те и другие существенно отличаются от значений  $k_v$ , отвечающих параметрам равновесного потока. Указанные закономерности проявляются и при других значениях  $P$  и  $T$ . Соответствие эксперименту во всем диапазоне изменения  $P$ ,  $T$  и  $h_*$  удается получить при применении уменьшенной в 1,33 раза по сравнению с (1.5) константы скорости  $VV'$ -обмена  $W_{1,2}^{H_2O}$  (линии 3 на рис. 5, напомним, что именно величина  $W_{1,2}^{H_2O}$  определяет в рассматриваемых условиях степень отклонения системы от равновесия). Это видно также из таблицы, где приведены параметры торможения, координаты измерительного сечения в сопле  $\Delta l$ , измеренные  $k_v^3$  и рассчитанные  $k_v$ ,  $k_v^e$  коэффициенты поглощения. Расчет  $k_v^e$  проводился в предположении равновесного течения водяного пара и при использовании рассмотренной модели колебательного энергообмена с  $W_{1,2}^{H_2O}$ , определенной согласно (1.5). При расчетах  $k_v$  использовалась константа  $W_{1,2}^{H_2O}$ , уменьшенная в 1,33 раза по сравнению с (1.5); остальной набор констант не изменялся и соответствовал условиям расчетов  $k_v^e$ .

Отметим, что применение системы констант скоростей  $W_{p,k}$  из [17] приводит в исследуемом диапазоне параметров практически к тем же значениям  $k_v$ , что и рассмотренная в данной работе модель с  $W_{1,2}^{H_2O}$ , уменьшенной в 1,33 раза по сравнению с (1.5) (отличие не превышает 10 %). Ранее в [17] в расчетах в соответствии с [1] коэффициент Эйнштейна принимался равным  $6 \text{ c}^{-1}$ , использование этого значения  $A_{mn}$  приводит к троекратному завышению расчетных значений  $k_v$  по сравнению с измеренными. Применение в качестве реперных точек при определении  $W_{1,2}^{H_2O}(T)$  и  $W_{2,0}^{H_2O}(T)$  результатов [14] не позволяет получить согласие с экспериментальными значениями  $k_v$  (расчет с определенными таким образом  $W_{1,2}^{H_2O}(T)$  и  $W_{2,0}^{H_2O}(T)$  дает во всем диапазоне исследуемых параметров  $k_v \approx k_v^e$ ).

Итак, можно констатировать, что при расширении предварительно нагретого водяного пара в сверхзвуковом сопле при  $\tau_R < \tau_{VV'}$  ( $\tau_R$  — характерное время пребывания газа в сопле) реализуется неравновесное распределение молекул  $H_2O$  по колебательным степеням свободы и

$10 P_0$ , МПа	$T_0$ , К	$h_*$ , мм	$\Delta l$ , мм	$k_v^3$ , м $^{-1}$	$k_v$ , м $^{-1}$	$k_v^e$ , м $^{-1}$
1,95	1760	2	15	0,86+0,18	0,89	0,89
2,18	1810	2	15	1,07+0,14	1,02	1,02
2,53	1870	2	15	1,39+0,31	1,22	1,22
2,52	1880	2	15	1,12+0,25	1,22	1,22
2,77	1960	2	15	1,22+0,2	1,41	1,41
2,93	2020	2	15	1,5+0,2	1,55	1,55
2,73	2050	1	16,8	0,61+0,15	0,66	0,82
2,86	2180	1	16,8	0,84+0,21	0,89	1,05
3,09	2200	1	16,8	0,86+0,22	0,96	1,15
4,57	2220	1	16,8	0,86+0,36	0,97	1,2
2,86	2290	1	16,8	1,0+0,17	1,03	1,4
2,18	2300	1	16,8	0,88+0,17	1,0	1,32
4,86	2340	1	16,8	1,05+0,16	1,32	1,5
5,43	2360	1	16,8	1,17+0,21	1,39	1,56
2,21	2500	1	16,8	1,25+0,11	1,27	1,68
2,67	2140	1	16,8	0,53+0,16	0,53	0,67
4,21	2170	1	16,8	0,57+0,16	0,65	0,75
4,6	2180	1	16,8	0,64+0,11	0,65	0,82
3,07	2320	1	16,8	0,69+0,12	0,82	0,975
5,53	2360	1	16,8	0,916+0,19	0,995	1,15
4,94	2360	1	16,8	0,825+0,13	0,94	1,08
3,0	1930	0,5	15	<0,2	0,15	0,28
4,23	2200	0,5	15	0,44+0,11	0,44	0,56
3,57	2580	0,5	20	0,56+0,14	0,55	0,92

предложенная модель колебательного энергообмена правильно описывает экспериментальные результаты по измерению коэффициента поглощения излучения с  $\lambda = 27,971$  мкм.

Воспользуемся данной моделью для количественного анализа возможности получения усиления на переходе  $001(6_{33}) \rightarrow 020(5_{50})$  при быстром охлаждении паров воды в сверхзвуковом сопле. Обычно в газодинамических лазерах (ГДЛ) применяются профилированные, а не клиновидные сопла. Это связано с необходимостью обеспечения безотрывного течения с равномерным полем параметров на выходе из сопла и желанием получить возможно более однородный поток в зоне генерации излучения. Поэтому будем рассматривать плоские сопла с профилированной сверхзвуковой частью минимальной длины, рассчитанной на безотрывное течение при степени раскрытия  $e = 20$ , дозвуковая часть имеет клиновидный вход с углом раскрытия  $90^\circ$ .

На рис. 6 представлено распределение по продольной координате ( $\bar{x} = 2x/h_*$ ) колебательных  $T_i$  ( $i = 1, 2, 3$  отвечают симметричным, деформационным и асимметричным колебаниям  $\text{H}_2\text{O}$  — линии 1—3) и поступательной  $T$  (линии 4) температур, а также коэффициента усиления (линии 5) при течении водяного пара с  $T_0 = 2500$  К и  $P_0 = 0,3$  МПа в соплах с  $h_* = 0,1$  и  $0,2$  мм (сплошные и штриховые кривые). Видно, что в сопле с  $h_* = 0,1$  мм при данных  $P_0$  и  $T_0$  достигается положительный коэффициент усиления на переходе  $001(6_{33}) \rightarrow 020(5_{50})$ , максимум в распределении которого находится внутри сопла ( $k_v = 2,52 \text{ м}^{-1}$ ), и хотя к срезу сопла ( $x = 100$ ) он уменьшается, но и здесь достаточно велик ( $\approx 1 \text{ м}^{-1}$ ). При  $h_* = 0,2$  мм  $k_v > 0$  реализуется лишь внутри сопла. Степень неравновесности и коэффициент усиления резко возрастают с

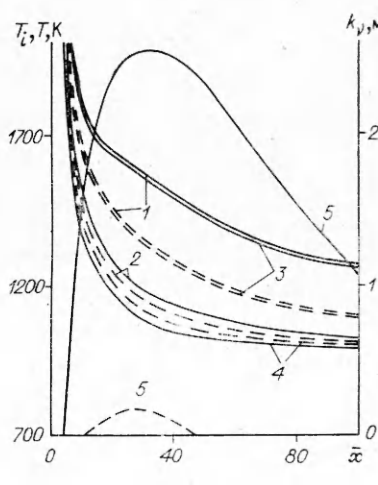


Рис. 6

уменьшением  $P_0$ . Так, при уменьшении  $P_0$  в 1,5 раза  $k_v$  на срезе сопла с  $h_* = 0,1$  мм увеличивается в 2 раза.

Полученные значения  $k_v$  указывают на возможность реализации экологически чистого ГДЛ на парах воды. Особенностью такого лазера является необходимость использования сопел с быстрым расширением (например, осесимметричных профилированных сопел) и значений  $P_0 h_*$ , существенно (в 50—100 раз) меньших, чем в традиционных CO<sub>2</sub>-ГДЛ. Однако для подтверждения сделанных выводов требуется проведение специальных экспериментов.

Авторы благодарят В. Г. Тестова за помощь в проведении измерений и полезные обсуждения.

#### ЛИТЕРАТУРА

1. Benedict W. S., Pollac M. A., Tomlinson W. J. The water vapor laser // IEEE J. Quant. Electr.—1969.—V. QE-5, N 2.
2. Coleman P. D. Far-infrared molecular lasers // IEEE J. Quant. Electr.—1973.—V. 9, N 4.
3. Mosburg E. R. A study of the CW 28-μm water vapor laser // IEEE J. Quant. Electr.—1973.—V. QE-9, N 3.
4. Puchamutha J. P., Hassler J. C., Coleman P. D. Excitation mechanism of water vapor laser // Appl. Phys. Lett.—1971.—V. 19, N 12.
5. Решетняк С. А. Вопросы кинетики в лазерах на плазме и вращательных переходах // Тр. ФИАН.—1975.—Т. 13.—С. 146.
6. Downey G. D., Robinson D. W. Chemical pumping of the water vapor laser. I.II // J. Chem. Phys.—1976.—V. 64, N 7.
7. Левин В. А., Стариц А. М. О возможности получения излучения субмиллиметрового диапазона в диффузионных H<sub>2</sub>O-ГДЛ // ЖТФ.—1981.—Т. 51, № 5.
8. Левин В. А., Сорокин А. А., Стариц А. М. О кинетическом охлаждении паров воды излучением CO-лазера // ЖТФ.—1986.—Т. 56, № 1.
9. Левин В. А., Сорокин А. А., Стариц А. М. О механизмах изменения показателя преломления при распространении излучения с  $\lambda = 2,8$  мкм во влажной атмосфере // Квантовая электрон.—1988.—Т. 15, № 7.
10. Лосев С. А. Газодинамические лазеры.—М.: Наука, 1977.
11. McFarlane R. A., Fretz L. H. High-power operation of pulsed water vapor laser and precision wavelength measurement of the strongest component // Appl. Phys. Lett.—1969.—V. 14, N 12.
12. Sarjeant W. J., Kucserovsky Z., Brannen E. Excitation processes and relaxation rates in the pulsed water vapor laser // Appl. Optics.—1972.—V. 11, N 4.
13. Kung R. T. V., Center R. E. High-temperature vibrational relaxation of H<sub>2</sub>O by H<sub>2</sub>O, He, Ar and N<sub>2</sub> // J. Chem. Phys.—1975.—V. 62, N 6.
14. Finzi J., Hovis F. E., Panfilov V. N., Moore C. B. Vibrational relaxation of water vapor // J. Chem. Phys.—1977.—V. 67, N 9.
15. Левин В. А., Стариц А. М. Колебательный энергообмен в смесях H<sub>2</sub>O—H<sub>2</sub>—O<sub>2</sub> при быстром охлаждении в сверхзвуковых соплах // Изв. АН СССР. МЖГ.—1980.—№ 2.
16. Левин В. А., Стариц А. М. О возможности генерации излучения дальнего инфракрасного диапазона ( $\lambda = 28$  мкм) при сверхзвуковом расширении паров воды // ЖТФ.—1981.—Т. 51, № 5.
17. Левин В. А., Сорокин А. А., Стариц А. М. Кинетика колебательного энергообмена в распределяющихся потоках газовых смесей H<sub>2</sub>O—H<sub>2</sub>—He. Анализ энергетических характеристик H<sub>2</sub>O-ГДЛ // Хим. физика.—1985.—Т. 4, № 11.
18. Левин В. А., Стариц А. М. К вопросу о получении инверсии населенности колебательных уровней многоатомных дипольных молекул за фронтом ударных волн // ИМТФ.—1981.—№ 5.
19. Fujii Y., Lindsay R. B., Urushihara K. Ultrasonic absorption and relaxation times in nitrogen water vapor // J. Acoust. Soc. Amer.—1963.—V. 35, N 7.
20. Roesler H., Sham K.-F. Vibrational and rotational relaxation in water vapor // J. Acoust. Soc. Amer.—1965.—V. 37, N 2.
21. Fujii Y. Ultrasonic absorption and relaxation times in water vapor and heavy water vapor // Papers of Ship Research Institute.—Tokyo, 1966.—N 15.
22. Bass H. E., Olson J. R., Amme R. C. Vibrational relaxation in H<sub>2</sub>O vapor in temperature range 373—946 K // J. Acoust. Soc. Amer.—1974.—V. 56, N 5.
23. Keeton R. G., Bass H. E. Vibrational and rotational relaxation of water vapor by water vapor, nitrogen and argon at 500 K // J. Acoust. Soc. Amer.—1976.—V. 60, N 1.
24. Bass H. E., Keeton R. G., Williams D. Vibrational and rotational relaxation in mixtures of water and oxygen // J. Acoust. Soc. Amer.—1976.—V. 60, N 1.
25. Henderson M. C., Clark A. V., Lintz P. R. Thermal relaxation in oxygen with H<sub>2</sub>O, HDO and D<sub>2</sub>O vapors as impurities // J. Acoust. Soc. Amer.—1965.—V. 37, N 3.

26. Monk R. G. Thermal relaxation of water vapor // J. Acoust. Soc. Amer.— 1969.— V. 46, N 3.
27. Bass H. E., Shields F. D. Vibrational relaxation and sound absorption in O<sub>2</sub>/H<sub>2</sub>O mixtures // J. Acoust. Soc. Amer.— 1974.— V. 56, N 3.
28. Harlow R. G., Street P. R. Sound absorption in mixtures of oxygen and water vapor in the temperature range 298—410 K // J. Acoust. Soc. Amer.— 1974.— V. 56, N 3.
29. Bass H. E., Shields F. D. Absorption of sound in air high-frequency measurements // J. Acoust. Soc. Amer.— 1977.— V. 62, N 3.
30. Eden D. D., Lindsay R. B., Zink H. Acoustical attenuation and relaxation phenomena in steam at high temperature and pressure // J. Eng. Power.— 1961.— V. 63, N 1.
31. Huber P. W., Kantrowitz A. Heat-capacity lag measurements in various gases // J. Chem. Phys.— 1947.— V. 15, N 5.
32. Zuckerwar A. J. Self deactivation of water vapor: role of dimer // J. Acoust. Soc. Amer.— 1984.— V. 76, N 1.
33. Shin H. K. Vibration to rotation energy transfer in water, heavy water and ammonia // J. Phys. Chem.— 1973.— V. 77, N 3.
34. Дубровский Г. В., Стрельчены В. М. Теория колебательно-вращательного возбуждения многоатомных молекул // Хим. физика.— 1983.— Т. 2, № 6.
35. Tanczos F. J. Calculations of vibrational relaxation times of the chloromethanes // J. Chem. Phys.— 1956.— V. 25, N 3.
36. Британ А. Б., Левин В. А., Сорокин А. А. и др. Поглощение излучения  $\lambda = 28$  мкм за ударной волной в парах воды // Хим. физика.— 1989.— Т. 8, № 3.
37. Липман Г. В., Рошко А. Элементы газовой динамики.— М.: ИЛ, 1960.
38. Британ А. Б., Тестов В. Г., Хмелевский А. И. Формирование потока за ударными волнами в парах воды в условиях конденсации на внутренней поверхности канала.— М., 1990.— (Препр./ИРЭ АН СССР; № 19(548)).

г. Москва

Поступила 4/VII 1990 г.,  
в окончательном варианте — 5/VI 1991 г.

УДК 532.59

B. B. Никулин

## РАСПАД ВЕРТИКАЛЬНОГО ТОРНАДОИОДОБНОГО ВИХРЯ

В [1] изучаются течения в торнадоподобных и полых вихрях. В длинноволновом приближении получены уравнения, аналогичные уравнениям вихревой мелкой воды [2]. Для вертикального стационарного торнадоподобного вихря, жидкость в ядре которого легче окружающей, установлен строгий критерий, разделяющий случаи, когда решение продолжаем на конечную или бесконечную высоту.

В настоящей работе, в дополнение к [1], приведены случаи, когда жидкость в ядре вихря тяжелее окружающей и сила тяжести по направлению совпадает с вертикальной скоростью. Кроме того, построен аналитический пример, в котором исследованное в [1] ограниченное по высоте решение для вихря с легким ядром непрерывно распространено на все полупространство.

**1. Постановка задачи.** Рассматривается полупространство, заполненное невязкой несжимаемой жидкостью в поле тяжести. Течение считается стационарным и вращательно-симметричным. Вводится цилиндрическая система координат  $(r\theta z)$  ( $r$  — радиус,  $\theta$  — азимутальный угол,  $z$  — ось симметрии, направленная против силы тяжести). Через  $r = r_0(z)$  обозначается граница, отделяющая ядро вихря от внешнего течения, расположенного в области  $r > r_0(z)$ . Плотность жидкости во внешнем течении считается постоянной. На границе ядра возможен скачок плотности и касательной к ней компоненты скорости. Для перехода к безразмерным величинам вводятся масштабы длины, скорости и плотности. За единицу длины принимается характерный масштаб изменений по оси  $z$ , за единицу скорости — вращательная компонента скорости при  $r = r_0$ ,  $z = 0$ , за единицу плотности — плотность внешнего течения. При этом характерные давление и ускорение будут равны единице. Безразмерное  $r_0$  при  $z = 0$  обозначим через  $\delta$ . Далее все величины, если не указано особо, берутся в безразмерном виде.